

## 24 Периодическая система элементов

Абстрактные представления о конфигурациях, термах и уровнях оказываются весьма полезными при объяснении спектров реальных атомов и их ионов. Выведенная в предыдущей главе теорема сложения моментов позволяет для любой конфигурации вычислить термы и уровни, а порядком их расположения управляют полученные полуэмпирическим путём правило Хунда и правило интервалов Ланде.

Принцип Паули определяет периодическую зависимость структуры атомных уровней от заряда ядра  $Z$ , но спин-орбитальное взаимодействие и некоторые дополнительные факторы усложняют её для химических элементов, начиная с середины таблицы Менделеева.

### 24.1 Порядок заполнения оболочек

Элементы от водорода до аргона подчиняются простому правилу: по мере перехода к атомам со всё большими номерами последовательно увеличивается орбитальное квантовое число  $l$  при заданном  $n$ . Когда все возможные состояния заняты, то главное квантовое число  $n$  увеличивается на единицу и заполнение вакансий орбитального момента начинается снова.

Выше, употребляя термин «оболочка», мы подразумевали набор эквивалентных электронов. В литературе оболочкой называют также электроны, объединённые одним значением главного квантового числа. В таблице собраны их рентгеноскопические обозначения:

$n$	1	2	3	4	5	6	7
Символ	$K$	$L$	$M$	$N$	$O$	$P$	$Q$
$N_{\max}$	2	8	18	32	50	72	98

Сначала выписаны все значения  $n$ , встречающиеся в основном состоянии известных химических элементов. Во второй строке приведено обозначение оболочки, а в третьей — максимальное число электронов с заданным  $n$ . Оно вычисляется как сумма всех возможных проекций момента по всем  $0 \leq l < n$  с учётом спина. Такие расчёты нами уже были проведены в главе 16. Там получена формула (16.7.3) для  $g_H(n)$  — числа состояний атома водорода, соответствующих заданному значению  $n$ . Ясно, что  $N_{\max} = g_H(n)$ . Ниже мы будем говорить об «оболочке» в обоих смыслах этого слова. Если возникнет опасность недоразумения, то термин «оболочка» мы закрепим за « $n$ -оболочкой», а эквивалентные электроны с фиксированным  $l$  назовём «подоболочкой».

Кратко сформулируем последовательность заполнения основных состояний химических элементов от водорода до аргона.

- При  $n=1$  возможны только две конфигурации:  $s$  (водород) и  $s^2$  (гелий). Следующий, третий электрон, принадлежащий литию, относится уже к  $L$ -оболочке.
- Электроны  $L$ -оболочки, аналогично водороду и гелию, занимают состояния с  $l=0$  (литий и бериллий), а затем переходят к  $l=1$  и последовательно увеличивают на единицу число  $p$ -электронов, вплоть до  $p^6$  (бор, углерод, азот, кислород, фтор, неон). По исчерпании вакансий для  $p$ -электронов (неон) происходит переход на  $M$ -оболочку (натрий).
- Электроны  $M$ -оболочки повторяют последовательное заполнение  $s$ - (натрий и магний) и  $p$ -состояний (алюминий, кремний, фосфор, сера, хлор, аргон).

Наглядное представление о заполнении оболочек даёт табл.24.1. В первом

N	Атом	K	L		M			Основной уровень
			2s	2p	2s	2p	3d	
1	H	1						${}^2S_{1/2}$
2	He	2						${}^1S_0$
3	Li	2	1					${}^2S_{1/2}$
4	Be	2	2					${}^1S_0$
5	B	2	2	1				${}^2P_{1/2}^o$
6	C	2	2	2				${}^3P_0$
7	N	2	2	3				${}^4S_{3/2}^o$
8	O	2	2	4				${}^3P_2$
9	F	2	2	5				${}^2P_{3/2}^o$
10	Ne	2	2	6				${}^1S_0$
11	Na	2	2	6	1			${}^2S_{1/2}$
12	Mg				2			${}^1S_0$
13	Al				2	1		${}^2P_{1/2}^o$
14	Si		10		2	2		${}^3P_0$
15	P				2	3		${}^4S_{3/2}^o$
16	S			Ne	2	4		${}^3P_2$
17	Cl				2	5		${}^2P_{3/2}^o$
18	Ar				2	6		${}^1S_0$

Таблица 24.1. Основные состояния атомов от H до Ar

вом столбце содержится атомный номер химического элемента, во втором — его обозначение, затем — число электронов в каждой оболочке и в последнем столбце — основное состояние атома. Формирование термов

и уровней для заданной конфигурации полностью подчиняются эмпирическим правилам, изложенным в предыдущей главе.

Хорошо видно, что у элементов от натрия до аргона повторяются свойства элементов от лития до неона: атомы с номером  $Z+8$  (для  $Z$  от 3 до 10) имеют те же самые уровни, что и атомы элемента  $Z$ , а конфигурации их оптических электронов отличаются только значениями главного квантового числа.

Начиная с калия ( $Z=19$ ) этот простой принцип усложняется. Процесс заполнения состояний с  $n=3$  временно прерывается, и в атомах К и Са добавляемые электроны занимают не  $3d$ -, а  $4s$ -подоболочки. Далее в таблице Менделеева наблюдается сложная, но вполне объяснимая с позиций современной квантовой теории конкуренция состояний с разными значениями  $l$ .

Упорядочить восприятие последовательности новых конфигураций можно с помощью эмпирического правила *Клечковского-Майделунга*. Оно содержит два пункта.

1. Электроны в атомах располагаются в порядке возрастания суммы квантовых чисел.
2. При одинаковой сумме  $n+l$  в периодической системе *сперва* стоит тот элемент, валентному электрону которого соответствует *меньшее* значение  $n$ .

Иными словами, заполнение подоболочек идет по мере возрастания суммы  $n+l$ , а при постоянной сумме — по мере возрастания  $n$ . Так, при переходе от третьей к четвёртой строке таблицы Менделеева имеем:

$Z$	18	19	20	21
Элемент	Ag	K	Ca	Sc
$n$	3	4	4	3
$l$	1	0	0	2
$n+l$	4	4	4	5

Сказанное иллюстрирует рис.24.1. Для номера  $Z_l$  атома, в котором впервые появляется электрон с данным значением  $l$ , Клечковский предложил эмпирическую формулу:

$$Z_l = \frac{1}{3}l(2l+1)(2l+2) + 1. \quad (24.1)$$

Для  $l=1, 2$  и  $3$  соответственно получается  $Z_l=5, 21$  и  $57$ , в соответствии с периодической таблицей.

Перейдём к более подробному изложению энергетической структуры химических элементов и их ионов. По мере увеличения числа электронов при переходе к более тяжёлым элементам полное обозначение конфигурации становится всё длиннее, поэтому иногда мы будем прибегать

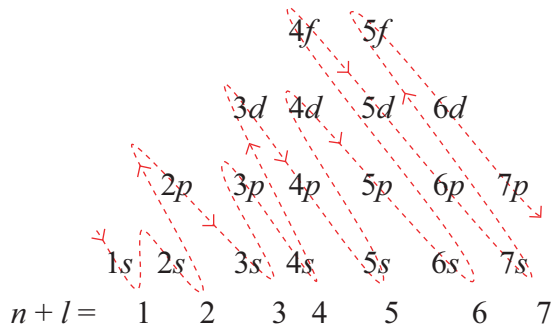


Рис. 24.1. К правилу Клечковского-Майделунга

к сокращённой записи. Вместо части обозначения конфигурации, соответствующей определённому химическому элементу, будем записывать название самого этого элемента, заключённое в квадратные скобки. Например,

$[He]$  вместо  $1s^2$  и  $[Be]$  вместо  $1s^22s^2$ .

Первые три элемента подробно описаны выше: водород — в третьей части книги, а гелий — в двадцать первой главе.

Свойства лития, как одного из щелочных элементов, рассмотрены в двадцатой главе. Там мы ещё не располагали принципом Паули и анализ причин, по которым у атома оказывается ровно один валентный электрон, отложили до этого раздела. С точки зрения спектроскопии, атом щелочного элемента (кроме лития) представляет собой систему, состоящую из *одного* электрона *поверх двух внешних замкнутых подоболочек*  $s^2p^6$ . Последняя характерна для атомов благородных газов, поэтому естественно начать с них.

## 24.2 Инертные газы

Помимо подробно рассмотренного гелия, атомы благородных газов — неона, аргона, криптона, ксенона и радона — называют также «инертными», так как они неохотно вступают в химические реакции и слабо взаимодействуют с другими частицами и с излучением. Их атомные номера собраны в табл. 24.2. Электронная структура инертных газов пред-

Химический элемент	Гелий	Неон	Аргон	Криpton	Ксенон	Радон
Обозначение	He	Ne	Ar	Kr	Xe	Rn
Атомный номер	2	10	18	36	54	86

Таблица 24.2. Атомные номера благородных газов

ставляет собой набор внутренних  $n$ -оболочек —  $K, L, M, \dots$  (в зависимости от атомного номера), поверх которого расположена совокупность двух замкнутых подоболочек  $s^2 p^6$ . Сказанное иллюстрирует табл. 24.3. Формирование оболочек гелия, неона и аргона, согласно сказанному выше, следует простой схеме последовательного увеличения орбитального квантового числа при заданном значении  $n$ . При появлении  $d$ -электронов схема заполнения усложняется. Тем не менее, криптон появляется после окончания заполнения  $M$ -оболочки и формирования «дежурной» конфигурации  $s^2 p^6$ , теперь уже при  $n=4$ . Ксенон образуется по аналогии с аргоном: после заполнения оболочки  $4d$  появляются не  $4f$ -, а  $5p$ -электроны. После ксенона постепенно заполняются оболочки  $6s, 4f$  и  $5d$ , и только затем завершается построение необходимой конфигурации  $6s^2 6p^6$ . Поэтому последнего благородного газа (радона) надо ждать не 18, а целых 32 номера. Мы уже знаем, что сумма всех моментов замкну-

Атом	$Z$	Конфигурация
He	2	$\underbrace{1s^2}_{K}$ ,
Ne	10	$\underbrace{1s^2}_{K} \underbrace{2s^2 2p^6}_{L}$ ,
Ar	18	$[\text{Ne}] \underbrace{3s^2 3p^6}_{M}$ ,
Kr	36	$[\text{Ar}] 3d^{10} \underbrace{4s^2 4p^6}_{N}$ ,
Xe	54	$[\text{Kr}] 4d^{10} \underbrace{5s^2 5p^6}_{O}$ ,
Rn	86	$[\text{Kr}] \underbrace{4d^{10} 4f^{14}}_{N} \underbrace{5s^2 5p^6 5d^{10}}_{O} \underbrace{6s^2 6p^6}_{P}$ .

Таблица 24.3. Электронные конфигурации инертных газов

той оболочки равна нулю, поэтому основное состояние инертных газов имеет уровень  ${}^1S_0$ .

Как мы видели в главе 21, возбуждённые состояния атома гелия сосредоточены в узкой энергетической полосе, около 20% от энергии связи. У инертных газов это свойство усилено в ещё большей степени. Поэтому линии, образующиеся при переходах на основной уровень, лежат в вакуумной ультрафиолетовой области спектра, а субординатные переходы находятся в видимом и инфракрасном диапазонах. Это свойство благородных газов — скопление большого числа линий в узком участке спектра — используется в *лампах спектра сравнения*, то есть, лабора-

торных источников, предназначенных для получения эталонных длин волн. В силу большой удалённости валентного электрона от атомного остова, возбуждённые состояния инертных газов не поддаются описанию в рамках модели  $LS$ -связи.

### 24.3 Щелочные элементы

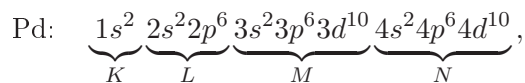
Спектроскопические свойства щелочных элементов изложены в двадцатой главе. Каждый из них следует непосредственно за благородным газом, поэтому все моменты атомного остатка равны нулю, и любой момент атома совпадает с моментом валентного электрона. Следовательно, единственным уровнем основного состояния атома щелочного элемента является  $^2S_{1/2}$ . В таблице 24.4 приведены атомные номера всех щелочных элементов.

Химический элемент	Литий	Натрий	Калий	Рубидий	Цезий	Франций
Обозначение	Li	Na	K	Rb	Cs	Fr
Атомный номер	3	11	19	37	55	87

Таблица 24.4. Атомные номера щелочных элементов

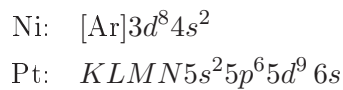
### Основные состояния меди, серебра и золота

Атомы меди ( $\text{Cu}$ ,  $Z=29$ ), серебра ( $\text{Ag}$ ,  $Z=47$ ) и золота ( $\text{Au}$ ,  $Z=79$ ) в основном состоянии также имеют один  $s$ -электрон вне заполненных оболочек. В периодической системе серебру предшествует палладий ( $\text{Pd}$ ,  $Z=46$ ), с заполненной  $4d$ -подоболочкой:



Поэтому у серебра легко возбуждается только внешний  $5s$ -электрон и его спектр полностью подобен спектрам щелочных металлов.

Иная ситуация у меди и золота. Им предшествуют элементы (соответственно, никель и платина), у которых в силу конкуренции  $s$ - и  $d$ -состояний оболочки не заполнены:



В силу этого обстоятельства значения энергии связи в  $d$ - и  $s$ -состояниях примерно одинаковы, поэтому у меди и золота могут возбуждаться как  $s$ -, так и  $d$ -электроны. Возбуждённым состояниям  $s$ -электрона соответствуют системы термов, аналогичные щелочным элементам. А возбуждение  $d$ -электрона даёт много новых состояний, отсутствующих у алкалоидов. Так, для Cu такими состояниями являются  $3d^94s^2$ ,  $3d^94sns$ ,  $3d^94snp$ ,  $3d^94snd$  и т.д.

#### 24.4 Щелочноземельные элементы

Добавление второго  $s$ -электрона к электронной конфигурации лития приводит к образованию замкнутой оболочки  $2s^2$  бериллия. Он является первым щелочноземельным элементом. В других периодах к ним относят атомы, содержащие два эквивалентных  $s$ -электрона поверх конфигурации  $s^2p^6$ . Кроме бериллия, к ним относятся магний, кальций, стронций, барий и радий.

При известных позициях инертных газов положение атомов щелочноземельных элементов в таблице Менделеева определяется просто: за инертным газом следует щелочной элемент, а сразу за ним — щелочноземельный. Их атомные номера собраны в табл.24.5. По простой схеме

Химический элемент	Бериллий	Магний	Кальций	Стронций	Барий	Радий
Обозначение	Be	Mg	Ca	Sr	Ba	Ra
Атомный номер	4	12	20	38	56	88

Таблица 24.5. Атомные номера щелочноземельных элементов

ме, учитывающей только  $s$ - и  $p$ -электроны, образуются только оболочки бериллия и магния. Далее следует известная конкуренция состояний с разными значениями  $n$  и  $l$ .

Замкнутая конфигурация

$$1s^22s^2 \quad (24.2)$$

как и в случае инертных газов имеет единственный уровень  ${}^1S_0$ . Но у атомов щелочноземельных элементов существует резонансный переход *без изменения главного квантового числа*: это переход  $ns^2 \rightarrow nsnp$ . Он присутствует также у ионов, принадлежащих изоэлектронным последовательностям щелочноземельных элементов. Его энергия вдоль изоэлектронной последовательности увеличивается с ростом заряда ядра  $Z$  довольно медленно, примерно пропорционально  $Z$ , а не  $Z^2$ , как у переходов с изменением  $n$ . Ситуация сходна с той, что описана в разделе 20.7 главы о щелочных металлах.

Резонансный переход с низкой энергией возбуждения делает ионы и атомы с электронной структурой щелочных и щелочноземельных элементов хорошими «охладителями» нагретого газа в условиях, когда велико отличие от термодинамического равновесия, например, в звёздных хромосферах и коронах, в межзвёздной и межгалактической среде, а также в ионосфере Земли.

Как и в гелии, при возбуждение одного из *s*-электронов возникают две системы термов — синглетная и триплетная. Низший терм триплетной системы  $nsnp\ ^3P$  также является метастабильным, однако правило отбора  $\Delta S=0$  выполняется не так строго, как у гелия. В спектрах щелочноземельных элементов наблюдаются интеркомбинационные линии, соответствующие переходам  $^3P_1 \rightarrow ^1S_0$ . Их интенсивность возрастает с увеличением  $Z$ .

## 24.5 Элементы с валентными *p*-электронами

Атомы с разным числом валентных *p*-электронов в некоторых чертах похожи друг на друга, поэтому мы их рассмотрим в одном разделе. К ним относятся наиболее обильные после водорода и гелия химические элементы: углерод, азот, кислород, алюминий, кремний, сера. В силу своеобразной структуры термов, атомы и ионы с конфигурациями  $p^{2,3,4}$  во многом определяют тепловое состояние межзвёздной среды, звёздных корон и хромосфер. «Запрещённые» переходы между термами основной конфигурации атомов и ионов азота, кислорода, неона, серы и аргона газовых туманностей. Линии переходов между возбуждёнными состояниями их ионов весьма многочисленны в спектрах горячих звёзд. Расщепление Р-термов на два уровня у высокозарядных ионов приводит к появлению «корональных» линий, по которым изучают состояние солнечной короны в оптическом диапазоне спектра.

### Один *p*-электрон вне заполненных оболочек

Начиная с атома бора происходит заполнение оболочки  $2p$ . Один электрон вне заполненной оболочки имеют также алюминий Al, галлий Ga, индий In и таллий Tl. Полный список этих элементов и конфигурации

Элемент	$Z$	Конфигурация
Бор	5	[Be] <b>2p</b>
Алюминий	13	[Ne]3s <sup>2</sup> <b>3p</b>
Галлий	31	KLM4s <sup>2</sup> <b>4p</b>
Индий	49	KLM4s <sup>2</sup> 4p <sup>6</sup> 4d <sup>10</sup> 5s <sup>2</sup> <b>5p</b>
Таллий	81	KLMN5s <sup>2</sup> 5p <sup>6</sup> 5d <sup>10</sup> 6s <sup>2</sup> <b>6p</b>

Таблица 24.6. Элементы с одним оптическим *p*-электроном

основного состояния приведены в табл.24.6.

О формировании оболочек бора и алюминия мы писали выше.  $N$ -оболочка галлия образуется после меди ( $4s$ ) и цинка ( $4s^2$ ) на основе заполненной  $M$ -оболочки. В периодической системе галлий появляется «на своём месте»: после конкуренции  $3d$ - и  $4s$ -состояний у элементов от калия до никеля включительно, у меди возникает «ожидаемый»  $4s$ -электрон поверх замкнутых  $KLM$ -оболочек.

Индий стоит после кадмия, внешняя оболочка которого состоит из двух эквивалентных  $5s$ -электронов поверх заполненной подоболочки  $4d^{10}$  палладия. Атомный номер индия на такую же величину (18) превышает номер галлия, как галлий отстоит от алюминия. Причиной является конкуренция  $5s$ - и  $(4d+4f)$ -состояний, в силу которой  $4f$ -электроны впервые появляются только у церия Ce ( $Z=58$ ). Поэтому между  $5p$ -электроном индия и  $4p$ -электроном галлия находятся пять электронов  $4p$  (от германия до криптона), десять  $4d$ -электронов палладия и два  $5s$ -электрона кадмия (состояния  $4f$  отсутствуют).

Заполнение оболочки  $4f$  заканчивается у иттербия ( $Z=70$ ). Затем заполняется оболочка  $5d$  и конфигурация  $5d^{10}$  впервые появляется у золота Au ( $Z=79$ ). Напомним, что подоболочка  $6s$  начала заполняться ещё у цезия, и с  $Z=55$  и далее на ней находятся один, либо два электрона. В частности, золото имеет конфигурацию  $KLMN5s^25p^65d^{10}6s$ . Далее от ртути Hg ( $Z=80$ ) до радона Rn ( $Z=86$ ) идёт заполнение подоболочек  $6s$  и  $6p$ . Последовательность конфигураций полностью аналогична заполнению подоболочек  $2s$ ,  $2p$  от бериллия до неона. То же самое справедливо для заполнения оболочек  $5s$  и  $5p$  от кадмия Cd ( $Z=48$ ) до ксенона Xe ( $Z=54$ ). Теперь мы можем подсчитать число химических элементов от индия до таллия: у пяти, от олова до ксенона, заполняется оболочка  $5p$  и ещё 26 мест занимает заполнение оболочек  $4f$ ,  $5d$  и  $6s$ , всего 31 элемент.

Состояние атома полностью определяется его единственным валентным  $p$ -электроном, так как все моменты всех замкнутых оболочек равны нулю. Таким образом, в основном состоянии бора реализуется терм  ${}^2P^o$ . Оболочка  $2p$  в данном случае заполнена менее, чем наполовину, поэтому самым низким уровнем является  ${}^2P_{1/2}^o$ . Расстояние между уровнями  ${}^2P_{1/2,3/2}$ , обусловленное спин-орбитальным взаимодействием, быстро возрастает с увеличением порядкового номера элемента. У бора оно составляет всего  $16 \text{ см}^{-1}$ , а у таллия доходит уже до  $7793 \text{ см}^{-1}$ . Одна компонента резонансной линии таллия находится в видимой области, а другая — в ультрафиолетовой. При столь больших расщеплениях становится заметным отклонение от  $LS$ -связи.

Правилами отбора для дипольного излучения разрешены дублетные переходы  $np^2P_{1/2,3/2} \rightarrow (n+1)s^2S_{1/2}$  и триплеты  $p^2P_{1/2,3/2} \rightarrow d^2D_{3/2,5/2}$ . Для всех элементов ряда, кроме бериллия существуют переходы  $p \rightarrow d$  без изменения главного квантового числа  $n$ . Существует также ряд конфи-

гураций, соответствующих возбуждению одного из  $s$ -электронов, например,  $nsnp^2$ ,  $nsnpr'n's$ ,  $nsnpr'n'd$ . Полный спин системы из трёх электронов может иметь два значения:  $1/2$  и  $3/2$ . Соответственно, возможны дублетные и квартетные термы.

Конфигурации ионов  $B^+$ ,  $Al^+$ , ... такие же, как у атомов щелочноземельных элементов и имеют аналогичные с ними спектры.

**Расщепление терма основного состояния.** Спин-орбитальное взаимодействие приводит к расщеплению терма  $n^2P^o$  основного состояния на уровни  $^2P_{1/2}^o$  и  $^2P_{3/2}^o$ . Величина расщепления  $\Delta E_{nP}$  быстро растёт вдоль изоэлектронной последовательности. Например, для ионов SXII и ArXIV изоэлектронной последовательности бора  $\Delta E_{2P}$  составляет несколько электронвольт, и переходы попадают в оптическую область спектра, с длинами волн, соответственно,  $7536 \text{ \AA}$  и  $4412 \text{ \AA}$ . А в случае иона железа FeXXII она оказывается больше 14 эВ. Уровни одного терма имеют одинаковую чётность, поэтому электрические дипольные переходы между ними запрещены. Все они осуществляются, в основном, по каналу магнитного дипольного излучения.

Некоторые из таких переходов называют «корональными», так как они видны в спектре солнечной короны. Условия в ней весьма благоприятны для излучения магнитного типа. Так, сравнительно низкая плотность,  $n_e \approx 10^8 \text{ см}^{-3}$ , в значительной степени снижает вероятность «утяжения» возбуждённого уровня безызлучательным электронным ударом. В то же время высокая температура короны,  $(2 \div 4) \cdot 10^6 \text{ K}$ , обеспечивает присутствие в ней высокозарядных ионов, для которых величина расщепления соответствует оптическому диапазону спектра. Знаменитая «зелёная» корональная линия  $\lambda = 5303 \text{ \AA}$ , открытая Харкессом в 1869 г., принадлежит иону FeXIV изоэлектронной последовательности алюминия.

### Конфигурация $p^5$

Конфигурацию такого типа имеют галогены фтор (F), хлор (Cl), бром (Br), йод (I) и астат (At). Их список приведён в табл. 24.7. Энергетичес-

Элемент	$Z$	Конфигурация
Фтор	9	[Be] $2p^5$
Хлор	17	[Ne] $3s^23p^5$
Бром	35	$KLM4s^24p^5$
Йод	53	$KLM4s^24p^64d^{10}5s^25p^5$
Астат	85	$KLMN5s^25p^65d^{10}6s^26p^5$

Таблица 24.7. Элементы с пятью валентными  $p$ -электронами

кая структура конфигураций  $p^1$  и  $p^5$  во многом сходны и различаются

лишь в некоторых деталях. Например, конфигурация  $p^5$  имеет обратное мультиплетное расщепление. Величина расщепления основного терма также быстро растёт вдоль изоэлектронной последовательности. Так, наблюдается «красная» корональная линия  $\lambda=6374\text{ \AA}$ , которая возникает в результате перехода  $3^2P_{1/2}^o \rightarrow 3^2P_{3/2}^o$  иона железа FeX, принадлежащего изоэлектронной последовательности хлора. В ультрафиолетовом участке оптического диапазона можно увидеть линию  $\lambda=3329\text{ \AA}$ , соответствующую переходу  $2^2P_{1/2}^o \rightarrow 2^2P_{3/2}^o$  иона CaXII.

### Конфигурации $p^2$ , $p^3$ , $p^4$

Все рассмотренные выше химические элементы объединяет одна важная особенность. А именно, электронные конфигурации основного состояния содержат *ровно один терм*. Теперь мы перейдём к рассмотрению элементов с более сложной энергетической структурой, в основном состоянии которых одной конфигурации соответствует *несколько термов*. В таблицах 24.8, 24.9 и 24.10 собраны сведения о химических элементах с электронными конфигурациями  $p^2$ ,  $p^3$ ,  $p^4$ . Согласно разделу 23.4, в

Элемент	$Z$	Конфигурация
Углерод	6	[Be] <b><math>2p^2</math></b>
Кремний	14	[Ne] $3s^2 3p^2$
Германий	32	<i>KLM</i> $4s^2 4p^2$
Олово	50	<i>KLM</i> $4s^2 4p^6 4d^{10} 5s^2 5p^2$
Свинец	82	<i>KLMN</i> $5s^2 5p^6 5d^{10} 6s^2 6p^2$

Таблица 24.8. Элементы с двумя валентными  $p$ -электронами

Элемент	$Z$	Конфигурация
Азот	7	[Be] <b><math>2p^3</math></b>
Фосфор	15	[Ne] $3s^2 3p^3$
Мышьяк	33	<i>KLM</i> $4s^2 4p^3$
Сурьма	51	<i>KLM</i> $4s^2 4p^6 4d^{10} 5s^2 5p^3$
Висмут	83	<i>KLMN</i> $5s^2 5p^6 5d^{10} 6s^2 6p^3$

Таблица 24.9. Элементы с тремя валентными  $p$ -электронами

каждой из них есть по три терма. Термы, принадлежащие одной конфигурации, имеют одну и ту же чётность, поэтому радиационные переходы между ними по каналу  $E1$  запрещены. Их резонансные потенциалы относительно велики, и возбуждённые состояния, как и в случае водорода и гелия, группируются вблизи границы ионизации. Радиационные переходы между термами основной конфигурации происходят, главным образом, за счёт отклонений от схемы  $LS$ -связи. Их вероятности невелики, они лежат в диапазоне от  $10^{-3}\text{ c}^{-1}$  до  $100\text{ c}^{-1}$ . Тем не менее, в

Элемент	$Z$	Конфигурация
Кислород	8	[Be] $2p^4$
Сера	16	[Ne] $3s^23p^4$
Селен	34	$KLM4s^24p^4$
Теллур	52	$KLM4s^24p^64d^{10}5s^25p^4$
Полоний	84	$KLMN5s^25p^65d^{10}6s^26p^4$

Таблица 24.10. Элементы с четырьмя валентными  $p$ -электронами

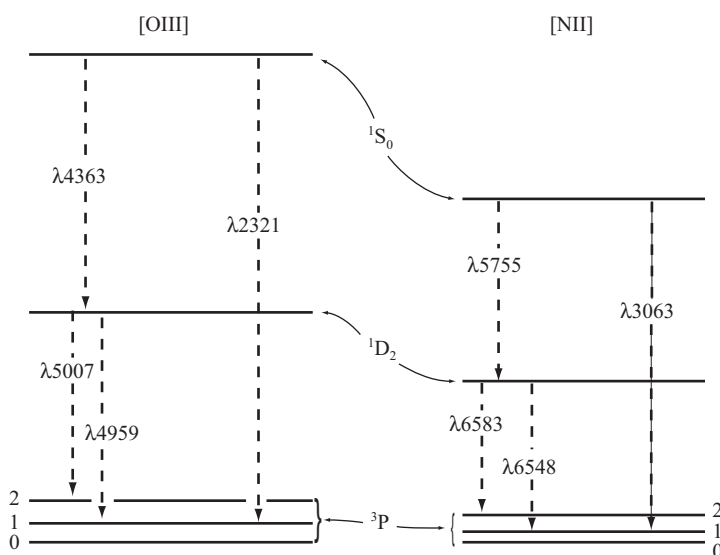


Рис. 24.2. Переходы между термами основной конфигурации.

разреженных областях межзвёздной среды, где электронная плотность не превышает  $10^4 \text{ см}^{-3}$ , тушение уровней электронным ударом не подавляет до конца излучение в запрещённых линиях, и они являются одними из самых ярких компонент в спектре газовых туманностей. На рис. 24.2 приведена схема переходов между термами основной конфигурации для двух ионов изоэлектронной последовательности углерода: [OIII] и [NII]. Два перехода с уровня  $^1D_2$  называют *небуллярными*, их линии являются одними из наиболее ярких в спектрах газовых туманностей. Переходы  $^1S_0 \rightarrow ^1D_2$  носят имя *авроральных*, они наблюдаются в спектре ночного неба. Линии перехода  $^1S_0 \rightarrow ^3P_1$  называются *трансауроральными*, обычно они находятся в ультрафиолетовом диапазоне.

## 24.6 Химические элементы с $d$ -электронами

Схема заполнения уровней после аргона значительно усложняется по сравнению с табл.24.1. Конкуренция  $4s$ - и  $3d$ -состояний приводит к появлению химических элементов с весьма сложными закономерностями в расположении спектральных линий. Например, в спектре железа существует множество линий, и чем выше чувствительность аппаратуры и разрешающая способность спектрометра, тем больше число наблюдаемых переходов: оно может достигать многих тысяч. Линии элементов группы железа весьма многочисленны в спектрах звёзд, температура которых лежит в диапазоне от 4000К до 7000К. Они также наблюдаются в спектрах газовых туманностей.

Строение электронных оболочек химических элементов до аргона включительно рассмотрено в предыдущей главе. Если бы они и дальше формировались тем же образом, то в третьем периоде было 18 элементов, причём в последних десяти происходило бы заполнение  $d$ -оболочки. В действительности он состоит всего из восьми элементов, заканчивается на аргоне, а дальше — у калия и кальция появляются не  $3d$ -, а  $4s$ -электроны. Причина, по которой уровень  $4s$  может быть расположен ниже уровня  $3d$ , нам известна ещё из раздела о щелочных элементах. В рамках модели Бора-Зоммерфельда, орбита с нулевым моментом имеет максимальный эксцентриситет и валентный электрон глубоко внедряется в остов. Следовательно, увеличивается их энергия взаимодействия, что приводит к понижению уровня. Таким образом, у калия и кальция заполняется  $4s$ -подоболочка. Но у неё всего две вакансии, поэтому начиная со скандия заполняется  $3d$ -подоболочка.

Заполнение  $3d$ -подоболочки титана и ванадия происходит обычным образом. Но у хрома появляется особенность: один из электронов перейдет с  $4s$ - на  $3d$ -подоболочку. Это связано с тем фактом, что на половину заполненная подоболочка тоже обладает некоторой степенью устойчивости, поэтому атом стремится перейти на неё. У марганца  $4s$ -подоболочка снова заполнится и дальше вплоть до меди будет заполняться  $3d$ -подоболочка. Электроны меди стремятся её заполнить полностью, поэтому снова один из электронов перейдет с  $4s$ - на  $3d$ -подоболочку.

И, наконец, у цинка заполнены и  $4s$ - и  $3d$ -подоболочки.

$Z$	элемент	конфигурация	уровень
19	K	$3p^64s$	$^2S_{1/2}$
20	Ca	$3p^64s^2$	$^1S_0$
21	Sc	$3d4s^2$	$^2D_{3/2}$
22	Ti	$3d^24s^2$	$^3F_2$
23	V	$3d^34s^2$	$^4F_{3/2}$
24	Cr	$3d^54s$	$^7S_3$
25	Mn	$3d^54s^2$	$^6S_{5/2}$
26	Fe	$3d^64s^2$	$^5D_4$
27	Co	$3d^74s^2$	$^4F_{9/2}$
28	Ni	$3d^84s^2$	$^3F_4$
29	Cu	$3d^{10}4s$	$^2S_{1/2}$
30	Zn	$3d^{10}4s^2$	$^1S_0$

Составим таблицу распределения элементов по периодам. В последнем столбце указано число элементов в периоде, для последнего периода это число взято в скобки так как еще не удалось получить все элементы этого периода. Внизу слева от символа элемента указывается его заряд.

$1s^2$	${}_1H$	—	${}_2He$	2
$2s^22p^6$	${}_3Li$	—	${}_{10}Ne$	8
$3s^23p^6$	${}_{11}Na$	—	${}_{18}Ar$	8
$4s^23d^{10}4p^6$	${}_{49}K$	—	${}_{36}Kr$	18
$5s^24d^{10}5p^6$	${}_{37}Rb$	—	${}_{54}Xe$	18
$6s^24f^{14}5d^{10}6p^6$	${}_{55}Cs$	—	${}_{86}Rn$	32
$7s^25f^{14}6d^{10}7p^6$	${}_{87}Fr$	—	?	(32)

Каждый период, кроме первого, начинается со щелочного металла и заканчивается инертным газом. У лантаноидов идет заполнение  $4f$ -подоболочки. Происходит оно еще более сложным образом, чем в тех случаях, которые мы рассмотрели.  $5f$ -подоболочка заполняется у актинидов. В этом случае наблюдается конкуренция  $7s$ ,  $6d$  и  $5f$  электронов. Причем элементы этого класса настолько похожи друг на друга, что порой их трудно химически различить.

В таблице 24.11 собраны сведения о конфигурациях основных состояний атомов и первых двух ионов элементов от скандия до цинка. Римские цифры в первом столбце означают состояние ионизации: I — атом, II и III, соответственно, первый и второй ионы. Хорошо видно, что, в отличие от элементов первых трёх периодов, здесь структура уровней иона элемента с номером  $Z$  и атома с номером  $Z-1$  сильно различаются. Например, первый ион железа имеет иную конфигурацию электронов, чем атом марганца, а конфигурация второго иона железа отличается от конфигурации хрома. Поэтому спектры элементов группы железа весьма

Таблица 24.11. Ионы и атомы с достраивающейся оболочкой

	Элемент				
	Sc	Ti	V	Cr	Mn
I	$3d4s^2\ 2D$	$3d^24s^2\ 3F$	$3d^34s^2\ 4F$	$3d^54s^7S$	$3d^54s^2\ 6S$
II	$3d4s^3D$	$3d^24s^4F$	$3d^45D$	$3d^56S$	$3d^54s^7S$
III	$3d^2D$	$3d^23F$	$3d^34F$	$3d^45D$	$3d^56S$
	Элемент				
	Fe	Co	Ni	Cu	Zn
I	$3d^64s^25D$	$3d^74s^24F$	$3d^84s^23F$	$3d^{10}4s^22S$	$3d^{10}4s^21S$
II	$3d^64s^6D$	$3d^83F$	$3d^92D$	$3d^{10}1S$	$3d^{10}4s^22S$
III	$3d^65D$	$3d^74F$	$3d^83F$	$3d^92D$	$3d^{10}1S$

разнообразны. Заполнение оболочек вторых ионов полностью идёт по принципу элементов от водорода до аргона. Этот факт говорит о роли кулоновского взаимодействия в формировании оболочек.

Присутствие  $d$ -электронов в основной конфигурации приводит к значительному усложнению спектров: в табл. 24.11 есть D- и даже F-термы. Им соответствуют многочисленные уровни, дающие богатую структуру спектральных мультиплетов. Элементы группы железа имеют мультиплетную структуру, аналогичную системам, рассмотренным в предыдущих главах. Внешняя сложность их спектров обусловлена наложением линий разных мультиплетов.

В качестве примера рассмотрим атом самого обильного в космосе элемента этой группы — железа. Его основные свойства типичны для всей группы. В видимой и близкой ультрафиолетовой области спектр железа содержит несколько тысяч линий, порядок расположения которых установить весьма не просто. Представление о линиях железа даёт рис. 24.3, на котором приведён сравнительно короткий участок спектра, от  $3600\text{\AA}$  до  $3800\text{\AA}$ . Числа сверху обозначают длину волны в ангстремах. Спектры звёзд и спектр железной дуги в лаборатории весьма разли-



Рис. 24.3. Участок спектра железной дуги

чаются. Это объясняется тем, что в звёздах мы наблюдаем, главным

образом, абсорбционные линии, а в лаборатории — эмиссионные. Мультиплеты, наиболее сильные в поглощении, могут оказаться слабыми в эмиссии, и наоборот. Следовательно, в эмиссии и в абсорбции мы, чаще всего, видим разные мультиплеты.